

Normal Okluzyonlu Erişkin Bireylerde NSAr Açısının SNA, SNB, SND Açıları İle İlişkisi

Dr. Emel SEREN*

ÖZET: Dişsel ve iskeletsel normal okluzyona sahip 24 bayan ve 29 erkekten oluşan toplam 53 erişkin bireyde sefalometrik ölçümler yapılarak NSAr = S, SNA, SNB, SND açılarının ortalama değerleri, standart sapmaları ve cinsler arası farklılıklar istatistiksel olarak değerlendirildi. S açısının SNA, SNB, SND açıları ile ilişkisi inceleininde aralarında ters yönlü anamlı bir ilişki bulunduğu ve korelasyonlarda paralelizm olduğu belirlendi. Bu açıların birlikte ters yönlü ilişkisi, orta kraniyal bölge ile çenelerin uyum için olduklarını kanıtlamış oldu.

Anahtar Kelimeler: NSAr, ile SNA, SNB, SND açıları.

SUMMARY: THE RELATIONSHIP OF THE NSAr ANGLE WITH SNA, SN, SND ANGLES IN ADULTS OF NORMAL OCCLUSION. The mean values of NSAr = S, SNA, SNB and SND, their standard deviations and the difference between the sexes were evaluated statistically by cephalometric measurements among 53 adult (24 females and 29 males) with normal dental and skeletal occlusion. When the relation between angle S, with SNA, SNB and SND angles was examined; it was found out that there was a significant negative relation and a parallelism in correlation. The negative relationship of these angles has proved that there is an accommodation between the middle cranial region and the jaws.

Key Words: NSAr, SNA, SNB, SND Angles.

GİRİŞ

Sefalometrik analizlerde, SNA açısı maksillanın, SNB açısı da mandibulanın apikal kaidesinin kraniyuma göre konumunun belirlenmesinde sıkılıkla kullanılır. Farklı toplumlarda değişik yazarlar (2, 4, 9, 10, 11) SNA açısının ortalama değerinin 80°-83° arasında olduğunu bildirmiştirlerdir. Riolo ve ark (12) 6-16 yaş grublarında yaptıkları ölçümler sonucu SNA'nın 81° civarında olduğunu SNB'nin 76.5°-79°'ler arasında değiştigini saptamışlardır. Sassouni (9) SNA'nın normalde ortalama değerini 81° olarak almış Steiner (10) ise analizinde SNA = 82° SNB = 80° olarak bildirmiştir.

SND açısı, SN doğrusu ile N ve D noktalarını birleştiren ND doğrusu arasında kalan açıdır: Mandibular sınıfızın külesel merkezi olarak kabul edilen D noktası Steiner'e göre büyümeye ve gelişiminden etkilenmeyeen stabil bir noktadır. SND açısı çene ucunun, kraniuma göre yerleşimini belirler. Normalde ortalama değeri 76°dir (10).

Kondilin sellaya göre konumunu belirleyen NSAr=S, (Saddle) açısı SN doğrusu ile SAR doğruları arasında

kalan açı olup kafa kaidesine göre fasiyal prognatizmin derecesini saptamada kullanılır. Björk (1)'e göre normalde ortalama değeri 123 ± 5 dir.

Bu çalışma SNA, SNB, SND, açılarının NSAr açısı ile ilişkili olduğu varsayımdan haraket ederek fasiyal prognatizmin derecesini saptamada bir kriter olarak kullanılmak, tedavi planını yönlendirmede yardımcı olmak ve açı değerlerinin toplumsal farkını saptamak amacıyla normal okluzyonlu erişkin bireylerde gerçekleştirılmıştır.

MATERIAL ve METOD

Araştırma grubunun yaş ortalamaları 18-20 civarında 48'i erkek 37'si bayan toplam 85 bireyden oluşmaktadır. Ortodonti ve diş hekimliğinin diğer dallarında tedavi görmemiş bu bireylerde protez, noksan diş, aşırı overbite ve overjetin olmamasına özen gösterildi. Tüm dişlerin arkalar üzerinde yer alması, ideal posterior-fossa tüberkül ilişkisi, Angle Sınıf I molar kapanışı esas alınarak bu bireylerden bilinen ve standart koşullarda uzak röntgen grafileri elde edildi. Araştırma kapsamına alınan bireylerin iskeletsel Sınıf I yapıya sahip olanlarını

* Serbest Dişhekimi, Ortodontist

da ayırmak amacıyla GoGnSn ve ANB açıları ölçüldü. GoGnSN = 32 ± 6 ve ANB = 2 ± 2 derece olanlar alınlara hem dişsel hemde iskeletsel ideal kapanışa sahip 24 bayan ve 29 erkekten ibaret bir supdivizyon oluşturuldu.

Araştırmada aşağıdaki sefalometrik noktalar kullanıldı;

Sella (S)- Sella tursikanın orta noktasıdır. Nasion (N)- Frontonasal suturun en ön noktasıdır. Subspinale (A)- Spina nasalis anterior ile prosthion arasındaki en derin noktasıdır. Supramentale (B)- noktası. Dudak altı çukurunun orta çizgi üzerinde bulunan en derin kemik noktasıdır. D noktası- Mandibular simfizin kütlesel merkezidir. Articulare (Ar)- Basis-Sphenoid ile mandibulaının arka hududunun kesiştiği noktasıdır.

Bu noktalar arasında oluşan SNA, SNB, SND ve NSAr = S, açıları 0.5° duyarlılıkla ölçüldü ve birbirleriyle karşılaştırıldı. Bulgular ve grafikler Best PC Bilgisayarlı SYSTAT paket programı kullanılarak elde edildi.

BULGULAR

Çizelgeye göre, tüm açılarda, cinsler arası farklılık istatistiksel olarak anlamlı değildir ($p > 0.05$).

Çizelgeye göre, tüm katsayılar istatistiksel olarak anlamlıdır. ($p < 0.05$). Böylece S ile SNA, SNB, SND açıları arasında anlamlı bir ilişki vardır.

Bu katsayıların eşit olup olmadığını test etmek için hesaplanan χ^2 kare istatistiği $\chi^2 = 0.233$ 'dür. Böylece S-SNA, S-SNB ve S-SND ilişki katsayıları arasında istatistiksel farklılık yoktur ($p > 0.05$); üç ilişkide eşit sayılabilecektir.

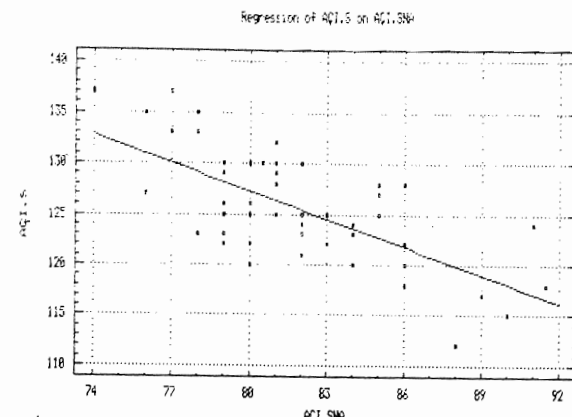
S ile öteki açılar arasındaki ilişkilerin fonksiyonları doğrusal regresyon teknigiyle aşağıda verilmiştir.

(Denklemelerde, parantez içindekiler katsayıların standart hataları; SH; denklemin standart hatası; F; test ölçütü ve n; gözlem sayısıdır).

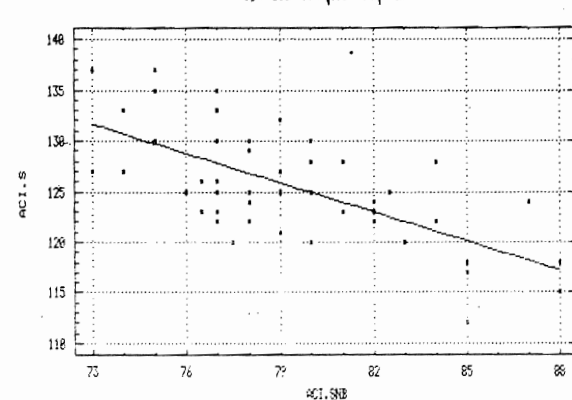
Her bir ilişkiye ait saçılım grafiği ve regresyon doğrusu Grafik 1, 2, 3'de verilmiştir. Grafik 4'de ise Grafik 1, 2, 3'deki doğrular birarada gösterilmiştir.

Öte yandan Grafik 4'den edinilen izlenimle doğruların özdeş olup olmadıklarını test etmek üzere F istatistiği hesaplanmıştır. Bu değer $F = 6.10$ ile anlamlı bir değerdir ($p < 0.05$).

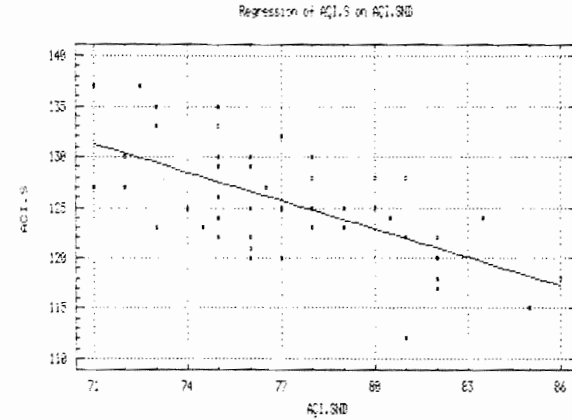
Böylece, doğrular özdeş değildir yani üstüste çakışmıyorlar. Ancak eğimlerin eşitliği (doğruların paralelliği) ilişki katsayılarının eşitliğinden görülebilir. Doğal olarak açılar arasındaki büyüklik farkları nedeniyle doğrular istatistiksel olarak eşit sayılamamıştır.



Grafik 1 : \hat{S}_1 ile SNA Arasındaki Regresyon.



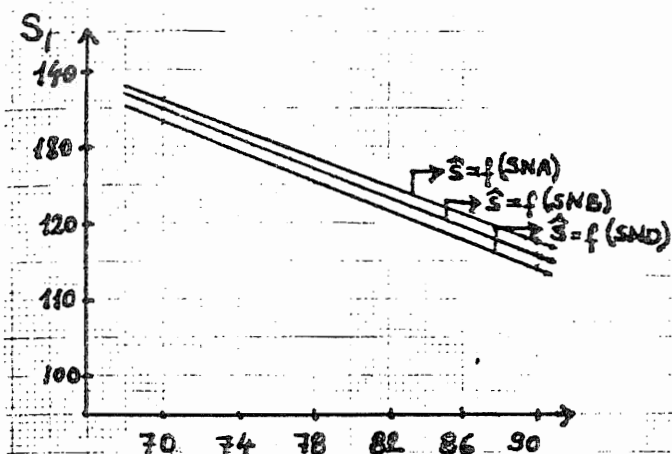
Grafik 2 : \hat{S}_1 ile SNB Arasındaki Regresyon.



Grafik 3 : \hat{S}_1 ile SND Arasındaki Regresyon.

TARTIŞMA

Okluzyon ile yüz şekli arasındaki ilişki ve mandibula büyümesi, belli noktalar ve düzlemlerden oluşan açıların meydana getirdiği "Björk Yüz Diagramı" kullanılarak incelenebilir (3, 8). Björk yüz diagramını oluşturan açılarından birinde Saddle (NSAr) açısıdır. Anterior ve posterior rotasyonların saptanmasında yardımcı bir açı



Grafik 4 : S_1 ile \widehat{SNA} , \widehat{SNB} , \widehat{SND} Açılarının Regresyon Doğruları.

olması nedeniyle eklem açısı (Ar) ve gonial açı ($ArGo-Me$) ile birlikte değerlendirilir ve normalde bu açıların toplam değerleri 369° olmalıdır. Açıların toplamının 369° den küçük olması saat yönünün tersine bir büyümeye 369° den büyük olması ise saat yönünde bir büyümeye gösterir. Böylece vertikal ölçüm yapılarak mandibulanın konumu belirlenmiş olur. Aynı zamanda bu değerlendirmenin mandibulanın kafa koidesine göre konumunun belirlenmesinde önemli bir kriter olduğu araştırmacılar (1, 3, 8) tarafından belirtilmiştir.

Fizzell ve Jarabak (5)'a göre NSAr açısı büyümeye ile azalıp çoğalabilir. Bu açının ilk değeri 122° den büyük olduğu zaman büyüyebilir ve ilk değeri 110° yahut daha az olduğu zaman küçülebilir. Bununla beraber NSAr'nın ilk değeri kişinin büyümeye yönü dikkate alındığında önem taşır. Eğer NSAr geniş ise yüz retrognatik olacaktır ve bu yönde büyümeye devam edecektir. Buna göre kafa koidesinin konfigürasyonundan ölçülen fasiyal prognatizmin derecesi kişiye göre değişir, özellikle Angle Class I okluzyonlu bireylerde SNA'nın değişiminin derecesi NSAr'nın varyasyonu ile açıklanabilir (6).

Järvinen (6), Class I malokluzyonlu çocukların SNA ile NSAr arasında kesin bir ilişki bulmuştur. NSAr küçük olduğu zaman SNA açısı büyük, NSAr ortalama civarında olduğu zaman ise SNA açısı ortalama değere

yakın bulunmuş; bu malokluzyon grubunda SNA açısının değişimlerinin önemli bir bölümü NSAr açısından varyasyonlarla açıklanmıştır.

Järvinen (7) daha sonra yaptığı bir çalışmada, ideal Class I okluzyon ile Class II Div 1 malokluzyonlu bireylerde kraniyal koidenin konfigürasyonundan ölçülen bireysel yüz prognatizminin derecesini karşılaştırmıştır. Ideal Class I okluzyon ve uygun yüz iskeletine sahip bireylerin oluşturduğu grupta NSAr ve SNA açıları arasındaki korelasyonu oldukça yüksek bulmuş (-0.94), Class II Div 1 malokluzyon grubunda ise bu iki açı arasındaki negatif korelasyonun (-0.57), ideal okluzyona sahip bireylerden oluşan gruba göre oldukça düşük olduğunu belirlemiştir. Yazar bu durumu, önemli malokluzyon olgularında, maksillanın dengesiz uzunluk ve lokalizasyonunu ortaya çikaran bir bulgu olarak ele almaktadır. SNA ve NSAr açılarının birbirinden ayrı incelendiğinde yaniltıcı olabileceğini ve SN düzlemini refarans planı olarak tek başına kullanmanın sakıncalı olduğunu başka refarans düzlemini örneğin FH düzlemin de kullanılması gerektiğini ileri sürmüştür.

Toplumumuzda normal okluzyonlu erişkin bireyler üzerinde yapılan bu çalışmada da Saddle, SNA, SNB ve SND açılarının normalde ortalama değerleri, standart sapmaları ve cinsler arası farklılıklar istatistiksel olarak incelenmiştir (Tablo I). Bulgular Gazilerli (4), Jarabak ve Fizzell (5), Björk (1) analizlerine uygun değerlerdedir. Cinsler arası farklılıklar istatistiksel olarak anlamlı değildir ($p > 0.05$). Bunun dışında Riolo ve arkadaşları (12) tarafından düzenlenen kraniyofasial büyümeye atlasında 16 yaş grubuna ait değerlerle de uyum içindedir.

Araştırmada SNA ile NSAr = S, açıları arasında anlamlı bir ilişki ortaya konmuştur (-0.674) (Tablo II). NSAr açıları ile SNA, SNB ve SND açılarının ilişki katısayları arasında istatistiksel farklılık görülmemiştir ($p > 0.05$) (Tablo III). Şekil 4'den anlaşılacağı gibi Saddle açısı ile SNA, SNB ve SND açılarının korelasyonlarında bir paralelizm saptanmıştır.

Klinik sefalometrik analizlerde NSAr ve SNA açıları arasındaki korelasyon teşhise yönelik yardımcı bir kriter olarak kullanılmaktadır. SNA'nın normal değeri bireylere göre ayrı ayrı değerlendirilmelidir ve fasiyal

Tablo I: Açıların Cinsiyete Göre Ortalama ve Sapmaları.

N	SNA		SNB		SND		NSAr-S	
	Kadın	Erkek	Kadın	Erkek	Kadın	Erkek	Kadın	Erkek
Ortalama	81.06	82.22	78.40	79.85	76.19	77.16	126.29	125.21
St. Sapma	3.98	3.83	3.52	3.62	3.28	3.63	5.67	5.07
Ortalamlar Arası Fark		-1.16		-1.45		-1.46		1.08
Student-t değeri		1.08		1.46		1.54		0.72

Tablo II. S ile Öteki Açılar Arasındaki İlişki (Korelasyon) Katsayıları.

Açılar	r	t-değeri
S-SNA	-0.674	6.544*
S-SNB	-0.657	6.257*
S-SND	-0.619	5.679*

* p < 0.01

n = 53

Tablo III. S ile Diğer Açılar Arasındaki Regresyon Denklemleri.

$S_1 = 200.982 - 0.922 \text{ SNA}, G = 3.96, F = 42.2, n = 53$ (0.142)
$S_1 = 201.879 - 0.962 \text{ SNB}, G = 4.05, F = 39.1, n = 53$ (0.154)
$S_1 = 197.718 - 0.935 \text{ SND}, G = 4.22, F = 31.7, n = 53$

iskeletin bireysel karakteristiklerini değerlendirmede o bireye özgü SNA açısı göz önüne alınmalıdır. Olguların çoğunda normal bir yüzde ölçülen SNA açısı ortalama değerden büyük veya küçük olabilir bu da bireysel değerlendirmenin gerekliliğini göstermektedir (6).

Bu araştırmmanın sonucunda orta kraniyal boşluk ile maksilla ve mandibula arasında ilişki olduğu ortaya konulmuştur. NSAr açısının büyümesi mandibulanın arka ya konumlanması demektir. Buna karşın SNA'nın küçülmesi maksillanın, SNB'nin küçülmesi ise mandibulanın geride konumlanması göstermiştir; bu açıların birlikte ters yönlü ilişkisi, orta kraniyal bölge ile çenelerin uyum içinde olduğunu kanıtlamıştır.

TEŞEKKÜR

Araştırmalarımı yönlendirmede büyük yardımını gördüğüm Gazi Ünv. Dişhek. Fak. Ortodonti Anabilim Dalı Başkanı Sn. Prof. Dr. Oktay Üner'e ve istatistik değerlendirmeleri titizlikle gerçekleştiren Hacettepe Ünv. İstatistik Bölümünden Sn. Doç. Dr. Aydin Erar'a teşekkürü görem sayarım.

YARARLANILAN KAYNAKLAR

1. Björk, A.: The Nature of Facial Prognathism and its Relation to Normal Occlusion of the Teeth, Am. J. Orthod. 37: 106-124, 1951.
2. Downs, W.B.: Variations in Facial Relationship Their Significance in Treatment and Prognosis, Am. J. Orthod. 34: 812-840, 1948.
3. Enlow, D.H.: Handbook of Facial Growth; Second ed, W.B. Saunders Co., Philadelphia, London, 1982.
4. Gazilerli, Ü.: Normal kapanışlı 13-16 yaşlar arasındaki Ankara Çocuklarında Steiner Normları (Doçentlik tezi), Ankara, 1976.
5. Jarabak, J.R., and Fizzell, J.A.: Technique and Treatment With Light-Wire Edgewise appliances, ed 2, St. Louis, The C.V. Mosby Company, Vol 1, 1972.
6. Järvinen, S.: Relation of the SNA Angle to the Saddle, Am. J. Orthod. 78: 670-673, 1980.
7. Järvinen, S.: Relation of the SNA Angle to the NSAr angle in Excellent Occlusion and in Malocclusion, Am. J. Orthod. 81: 245-248, 1982.
8. Salzmann, J.A.: Practice of Orthodontics, Vol. I, II, J.P. Lippincott Co., Philadelphia, Montreal. 1966.
9. Sassouni, V.: Diagnosis and Treatment Planning Via Roentgenographic Cephalometry, Am. J. Orthod., 44: 433-463, 1958.
10. Steiner, C.C.: Cephalometrics for You and Me. Am. J. Orthod. 39: 729-755, 1953.
11. Walker, G.F., and Kowalski, C.J.: On the use of the SNA and SNB Angles in Cephalometric Analyses, Am. J. Orthod. 64: 517-523, 1973.
12. Riale, M.L., Moyers, R.E., McNamara, J.A., Hunter, W.S.: An Atlas of Craniofacial Growth, Second ed., 321, Center for Human Growth and Development, The Univ. Of Michigan, 1979.

*Yazışma Adresi: Dr. Emel SEREN
Tuna Cad. Bayındır Sokak. 11/4
YENİŞEHİR*

*Bu makale, Yayın Kurulu tarafından 28 / 03 / 1990
tarihinde yayına kabul edilmiştir.*